

ВИЗНАЧЕННЯ ГІДРАВЛІЧНОГО ОПОРУ ВІДЦЕНТРОВОГО ТЕПЛОМАСООБМІННОГО АПАРАТА

Л.Д. Пляцук, Д.О. Лазненко, С.В. Сидоренко
Сумський державний університет, м. Суми

Розглядається питання визначення гідрравлічного опору відцентрового тепломасообмінного апарату з контактним пристроям у вигляді пакета віссесиметричних кільцевих елементів, виготовлених з металевої сітки. Отримані залежності для розрахунку опору сухого та зрошуваного апарату, проведено порівняння результатів розрахунків за отриманою моделлю з експериментальними даними.

Актуальним завданням розвитку промисловості України є підвищення інтенсивності проведення технологічних процесів. Це дозволяє більш повно використовувати виробничі площини підприємств, заощаджувати матеріальні та енергетичні ресурси.

Процеси масоперенесення в системі рідина-газ знайшли застосування в хімічній, нафтохімічній, харчовій та інших виробничих галузях. Масообмінні процеси широко використовуються в системах захисту навколошнього середовища як процеси очищення газових викидів та утилізації рідких відходів та стоків виробництв.

Одним із перспективних способів інтенсифікації масоперенесення є організація взаємодії фаз у полі відцентрових сил, які на декілька порядків перевищують гравітаційні. Конструктивно такий спосіб реалізується у відцентрових тепломасообмінних апаратах (ВТМА). Апарат складається з корпусу, всередині якого встановлений перфорований ротор, що обертається на валу (рис.1). Корпус апарату має патрубки для введення та виведення газової та рідкої фаз. Газ подається через тангенціальний патрубок від периферії апарату та рухається до центра. Рідина рухається від центра до периферії протитоком газу. У середині контактного пристроя відбувається високоінтенсивний контакт фаз.

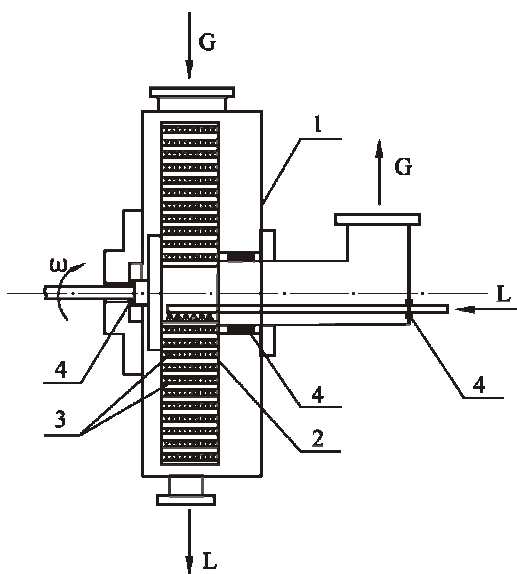


Рисунок 1 – Схема відцентрового тепло- масообмінного апарату:
 1 – циліндричний корпус;
 2 – обертовий ротор;
 3 – циліндричні контактні елементи;
 4 – ущільнення;
 L, G – відповідно рідка та газова фази

У результаті аналізу існуючих конструкцій такого типу обладнання [1-4] нами був запропонований контактний пристрій у вигляді набору віссиметричних кільцевих контактних елементів, які виготовлені з одного або декількох шарів металевої сітки. Кільца встановлюються на певній відстані одна від одного.

При такому розташуванні відбуваються багаторазове диспергування рідини на кожному кільцевому елементі, політ краплі в нестационарному режимі в проміжках між кільцями та удар крапель по наступному кільцевому елементу. При цьому інтенсивне масоперенесення забезпечується значною поверхнею контакту фаз у краплинному режимі, багаторазовим оновленням цієї поверхні на кожному наступному кільці та численними кінцевими ефектами, що мають місце при утворенні та відриві крапель при диспергуванні.

Важливим параметром, що визначає характер гідродинамічної взаємодії фаз в апараті є гіdraulічний опір. Його величина визначається конструктивними характеристиками контактного пристроя та режимом взаємодії фаз.

Гіdraulічний опір контактного пристроя складається з суми гіdraulічних опорів кільцевих елементів та гіdraulічного опору, який зумовлений дією відцентрових сил

$$\Delta P_{kn} = \sum \Delta P_i + \Delta P_{bu} \quad (1)$$

ΔP_{kn} - гіdraulічний опір контактного пристроя, Па;

ΔP_i - гіdraulічний опір кільцевого контактного елемента, Па;

ΔP_{bu} - гіdraulічний опір контактного пристроя, обумовлений дією відцентрових сил, Па.

Для визначення гіdraulічного опору кільцевих контактних елементів розглядаємо його природу для сухого контактного пристроя, потім враховуємо вплив рідини.

Газова фаза в контактному пристрії запропонованої конструкції здійснює складний рух по спіральній траєкторії. При обертанні контактного пристроя газова фаза, що надходить до апарату, за рахунок дії сил тертя об контактний пристрій починає захоплюватися в обертовий рух. Одночасно газова фаза рухається і в радіальному напрямку. Результатуючий вектор сил і відповідно напрямок руху газу направлений під кутом α до дотичної до кільцевого елемента, через який він проходить (рис.2).

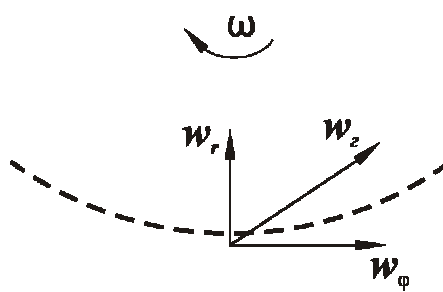


Рисунок 2 – Напрямки відносного руху газу через кільцевий елемент насадки ВТМА

Гідравлічний опір контактного елемента визначається напрямком та швидкістю руху газової фази відносно контактного елемента.

При цьому рух газової фази доцільно розглядати за двома складовими: радіальною w_r та коловою w_φ : $w_e = \sqrt{w_r^2 + w_\varphi^2}$ (рис.2).

Радіальна складова швидкості газової фази визначається її витратою та вільним перерізом поточного контактного елемента та визначається за залежністю

$$w_r = \frac{G}{2\pi r_i h \bar{f}}, \quad (2)$$

де G – об'ємна витрата газу, м³/с;

r_i – радіус i-го кільцевого елемента контактного пристрою, м.

h – ширина кільцевого елемента, м;

$\bar{f} = \frac{F_0}{F_1}$ – коефіцієнт вільного перетину кільцевого елемента;

F_0 – вільний перетин сітки, м²;

F_1 – загальний перетин сітки, м².

При проходженні газової фази всередині ротора, вона силами тертя захоплюється до колового руху в напрямку обертання ротора. При захопленні газової фази до обертового руху її обертова швидкість відрізняється від швидкості контактних елементів. Унаслідок цього газова фаза здійснює рух відносно контактних елементів. Швидкість відносного колового руху газової фази визначається ступенем його захоплення до колового руху, який враховуємо через коефіцієнт k_ω , що знаходиться в діапазоні від 0 до 1.

Колова складова газової фази в роторі відносно контактних елементів визначається за залежністю

$$w_\varphi = (1 - k_\omega) \cdot \omega \cdot r_i, \quad (3)$$

де: ω – частота обертання ротора, рад/с;

k_ω – коефіцієнт, що враховує ступінь захоплення газу в обертальний рух відносно швидкості обертання ротора.

Гідравлічний опір одного кільцевого елемента сухого контактного пристрою ВТМА виражається рівнянням:

$$\Delta P_{i0} = \Delta P_{r0} + \Delta P_\varphi, \quad (4)$$

де ΔP_{r0} – радіальна складова опору;

ΔP_φ – колова складова опору.

Радіальна складова ΔP_{r0} визначається за залежністю

$$\Delta P_{r0} = \xi_{r0} \frac{\rho_e w_{r,i}^2}{2} = \xi_{r0} \cdot \frac{\rho_e}{2} \cdot \left(\frac{G}{2\pi r_i h f} \right)^2, \quad (5)$$

де ρ_e – густина газу, $\text{кг}/\text{м}^3$;

ξ_{r0} – коефіцієнт гідравлічного опору сухого кільцевого елемента.

Для визначення ξ_{r0} можна застосувати залежності, наведені в [5] для опору сіток, виготовлених із металевоого дроту.

Для діапазону чисел Рейнольдса $Re < 10^3$ коефіцієнт опору металевої сітки визначається як

$$\dot{\xi}_{r0} = k_{\text{Re}} \cdot \xi_0, \quad (6)$$

$$\xi_0 = k_0 \left(1 - \bar{f} \right) + \left(\frac{1}{\bar{f}} - 1 \right)^2, \quad (7)$$

де для сіток з круглих металевих дротів із звичайним у практиці станом поверхні (неокислених та незапилених) $k_0 = 1,3$; для нових сіток $k_0 = 1,0$.

Для $50 < Re < 10^3$ коефіцієнт \dot{k}_{Re} визначається за графічною залежністю від Re , також наведеною в [5], і знаходиться в межах 1–1,4.

Для режимів $Re < 50$:

$$\dot{k}_{\text{Re}} \approx \frac{22}{Re} + \xi_0. \quad (8)$$

При числах Рейнольдса $Re > 10^3$

$$\dot{\xi}_{r0} = \xi_0 = k_0 \left(1 - \bar{f} \right) + \left(\frac{1}{\bar{f}} - 1 \right)^2. \quad (9)$$

Обертова складова опору i -го кільцевого контактного елемента виражається рівнянням

$$\Delta P_{\phi,i} = \xi_{\phi} \frac{\rho_e w_{\phi,i}^2}{2} = \xi_{\phi} \frac{\rho_e \left((1 - k_{\phi}) \cdot \omega r_i \right)^2}{2}, \quad (10)$$

де ξ_{ϕ} – коефіцієнт обертової складової гідравлічного опору.

З урахуванням (4), (5) та (10) складова рівняння (1) $\sum \Delta P_i$, викликана опором n кільцевих контактних елементів радіусом r_i кожен, має вигляд

$$\sum_{i=1}^n \Delta P_{i0} = \sum_{i=1}^n \left(\xi_{r0} \cdot \frac{\rho_e}{2} \cdot \left(\frac{G}{2\pi r_i h f} \right)^2 + \xi_\varphi \frac{\rho_e ((1 - k_\varphi) \cdot \omega r_i)^2}{2} \right). \quad (11)$$

При обертанні ротора на газову фазу діє відцентрова сила інерції та сила Коріоліса. Дією сили Коріоліса нехтуємо через її малість.

Складова гідравлічного опору, що витрачається на подолання відцентрової сили інерції:

$$dP_{eu} = \rho_e \cdot (k_\varphi \cdot \omega)^2 r \cdot dr. \quad (12)$$

Інтегруючи (12) в межах від внутрішнього r_0 до зовнішнього R радіуса контактного пристрою, отримаємо

$$\Delta P_{eu} = \rho_e (k_\varphi \cdot \omega)^2 \cdot \frac{(R^2 - r_0^2)}{2}. \quad (13)$$

Загальний опір сухого обертового контактного пристрою дорівнює

$$\begin{aligned} \Delta P_{kn.0} = \sum_{i=1}^n \Delta P_i + \Delta P_{eu} &= \sum_{i=1}^n \left(\xi_{r0} \cdot \frac{\rho_e}{2} \cdot \left(\frac{G}{2\pi r_i h f} \right)^2 + \xi_\varphi \frac{\rho_e ((1 - k_\varphi) \cdot \omega r_i)^2}{2} \right) + \\ &+ \rho_e (k_\varphi \cdot \omega)^2 \cdot \frac{(R^2 - r_0^2)}{2}. \end{aligned} \quad (14)$$

Результати розрахунку гідравлічного опору за формулою (14) та експериментальні дані наведені на рис.3.

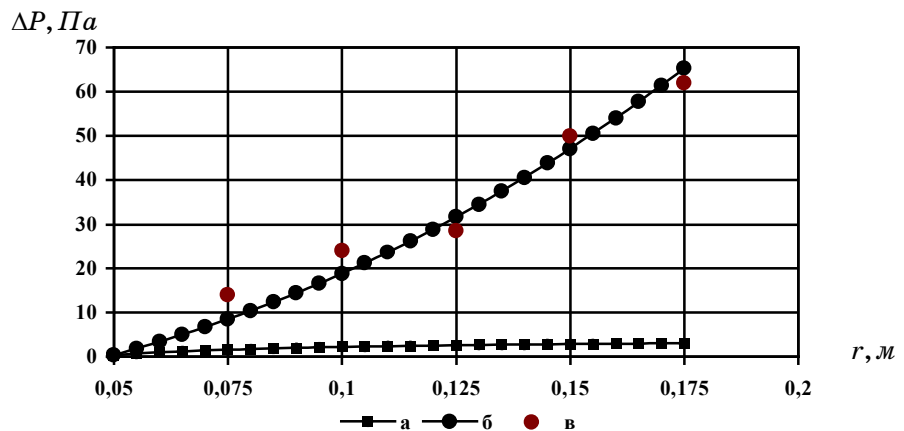


Рисунок 3 – Гідравлічний опір сухого обертового контактного пристрою BTMA за залежністю (13):

- а – опір нерухомого контактного пристрою, розрахований за (5);
- б – опір обертового контактного пристрою, розрахований за (14);
- в – експериментальні дані для обертового контактного пристрою

Гідравлічний опір зрошуваного контактного пристрою вище ніж сухого. Це пояснюється зменшенням вільного перерізу для руху газу за рахунок його перекриття плівкою рідини та відповідно збільшенням швидкості руху газової фази.

Опір обертового зрошуваного контактного пристрою визначається за залежністю, аналогічною до (11), з урахуванням ступеня зменшення вільного перерізу:

$$\Delta P_{i,sp.} = \sum_{i=1}^n \left(\xi_{r,sp} \cdot \frac{\rho_e}{2} \cdot \left(\frac{G}{2\pi r_i h \bar{f} \cdot k_f} \right)^2 + \left(\xi_\omega \frac{\rho_e ((1 - k_\omega) \omega r_i)^2}{2} \right) \right), \quad (15)$$

де k_f – коефіцієнт, що враховує ступінь зменшення вільного перерізу сіткового елемента внаслідок наявності рідини на ньому.

Коефіцієнт гідравлічного опору $\xi_{r,sp}$ для зрошеного контактного елемента визначається як

$$\xi_{r,sp.} = k_{Re} \cdot \xi_{sp0}, \quad (16)$$

$$\xi_{sp0} = k_0 \left(1 - \bar{f} \cdot k_f \right) + \left(\frac{1}{\bar{f} \cdot k_f} - 1 \right)^2. \quad (17)$$

Коефіцієнт k_{Re} визначається так само, як і для сухого контактного пристрою. Опір на подолання відцентрової сили визначаємо за залежністю (13).

Загальний опір зрошуваного апарату визначається за формулою

$$\Delta P_{sp.an} = \sum_{i=1}^n \Delta P_{i,sp} + \Delta P_{eq} = \sum_{i=1}^n \left(\xi_{r,sp} \cdot \frac{\rho_e}{2} \cdot \left(\frac{G}{2\pi r_i h \bar{f} \cdot k_f} \right)^2 + \left(\xi_\omega \frac{\rho_e ((1 - k_\omega) \omega r_i)^2}{2} \right) \right) + \rho_e (k_\phi \cdot \omega)^2 \cdot \frac{(R^2 - r_0^2)}{2}. \quad (18)$$

Результат розрахунку гідравлічного опору за (18) та експериментальні точки для зрошуваного контактного пристрою ВТМА наведен на рис.4.

$\Delta P, Pa$

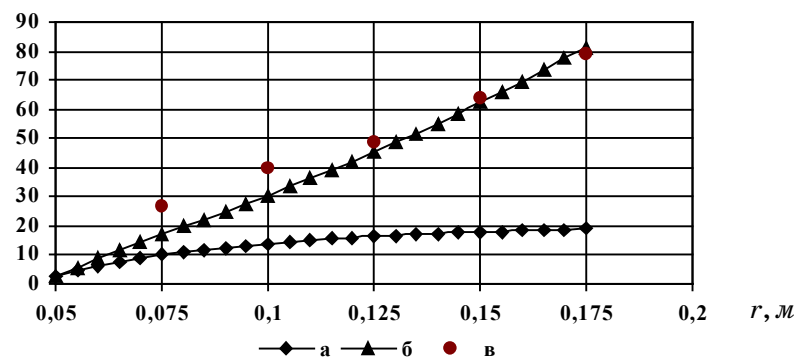


Рисунок 4– Гідравлічний опір зрошуваного контактного пристрою ВТМА:
а - опір кільцевих елементів, розрахований за (15), б - повний опір апарату, розрахований за (18); в – повний опір апарату (експериментальні дані)

З наведених порівняльних графіків на рис. 3 та 4 бачимо, що розрахункові дані добре корелюють з експериментальними значеннями опору, отриманими на лабораторному стенді.

Таким чином, отримані математичні моделі для розрахунку гідравлічного опору сухого та зрошуваного контактного пристрою дозволяють визначати його з урахуванням конструктивних особливостей контактних пристрій ВТМА та режимів його роботи.

СПИСОК ЛІТЕРАТУРИ

1. Пленочная тепло- и массообменная аппаратура / Под ред. В.М.Олевского. – М.: Химия, 1988, 240 с.
2. Олевский В.М., Ручинский В.Р. Ректификация термически нестойких продуктов. – М., Химия, 1972.
3. Александровский А.А. Исследование гидродинамики и массообмена в роторном абсорбере: Дис...канд. техн. наук: 05.17.08. – Казань, 1982. – 239с.
4. Олевский В.М., Ручинский В.Р. Роторно-плёночные тепло- и массообменные аппараты. – М.: Химия, 1977. – 208с.
5. Идельчик И.Е. Справочник по гидравлическим сопротивлениям. – изд-е второе переработанное и дополненное. – М.: Машиностроение, 1975.– 559 с.

Пляцук Л.Д., докт. техн. наук, професор;

Лазненко Д.О., канд. техн. наук, доцент;

Сидоренко С.В., аспірант

Надійшла до редакції 4 квітня 2008 р.